

01; 03; 05

©1994 г.

## ИССЛЕДОВАНИЕ ВОЛНОВЫХ ЯВЛЕНИЙ ПРИ ПРОГРЕВЕ ПОЛУОГРАНИЧЕННОГО ПОРИСТОГО СЛОЯ ПОТОКОМ ГОРЯЧЕГО ГАЗА

*А.В.Кузнецов*

(Поступило в Редакцию 10 января 1994 г.)

Рассмотрена задача прогрева полуограниченного пористого тела потоком горячего несжимаемого газа (жидкости). В отличие от предыдущих аналитических исследований в настоящей работе не используется допущение о возможности пренебречь теплоемкостью и теплопроводностью газовой фазы. Показано, что разница температур между твердой и газовой фазами образует локализованную в пространстве волну, которая распространяется со скоростью, отличной от скорости поступающего газа.

### Введение

Прогрев пористых тел потоком горячего газа (жидкости) широко используется для аккумуляции тепловой энергии, поэтому исследование этого процесса имеет большое практическое значение. Большинство аналитических исследований, посвященных этому явлению, были выполнены в рамках так называемой шуманновской модели пористого слоя, предложенной в [1]. В этой модели игнорируется теплоемкость и теплопроводность газовой фазы. Первоначально также теплопроводность твердой фазы полагалась равной нулю, однако в ряде дальнейших работ была найдена возможность снять это допущение. Аналитические решения для шуманновской модели при различных граничных условиях были получены в работах [2-5]. В [6] проведено сравнение решений двухфазной (два уравнения энергии) и однофазной моделей пористого слоя. В [7-9] представлена общая математическая модель, описывающая поток конденсирующегося газа в пористом слое, и проведено численное исследование этого явления.

В отличие от предыдущих аналитических исследований в настоящей работе с помощью метода возмущений проводится исследование полных уравнений энергии для твердой и газовой фаз без пренебрежения какими бы то ни было членами в этих уравнениях.

## Постановка задачи

При рассмотрении данной задачи мы будем исходить из следующих допущений: 1) теплоперенос является одномерным; 2) теплофизические свойства твердой и газовой фаз неизменны; 3) газовая фаза не сжимаема и массовый расход водорода в каждом поперечном сечении пористого тела постоянен.

При этих допущениях процесс описывается следующей системой уравнений:

$$\Pi \rho_f c_f \frac{\partial T_f}{\partial t} + \rho_f c_f v \frac{\partial T_f}{\partial x} = \lambda_{feff} \frac{\partial^2 T_f}{\partial x^2} + h_{sf} a_{sf} [T_s - T_f], \quad (1)$$

$$(1 - \Pi) \rho_s c_s \frac{\partial T_s}{\partial t} = \lambda_{seff} \frac{\partial^2 T_s}{\partial x^2} - h_{sf} a_{sf} [T_s - T_f], \quad (2)$$

где  $T_f = \langle T_f \rangle^f$ ,  $T_s = \langle T_s \rangle^s$ ,  $\rho_f = \langle \rho_f \rangle^f$ ,  $\rho_s = \langle \rho_s \rangle^s$ ,  $c_f = (c_p)_f$ ,  $c_s = (c_p)_s$ ,  $v = \langle v_f \rangle$ .

Здесь оператор  $\langle \rangle$  означает осреднение по объему и  $\langle \rangle^f$  или  $\langle \rangle^s$  — фазовое среднее для газовой или твердой фаз соответственно [10]. Удельная поверхность контакта твердой и газовой фаз в соответствии с [11] может быть вычислена по формуле

$$a_{sf} = \frac{6(1 - \Pi)}{d}. \quad (3)$$

Согласно [12], коэффициент теплообмена между газом и частичками пористого тела можно вычислить как

$$\frac{1}{h_{sf}} = \frac{d}{Nu_{sf} \lambda_f} + \frac{d}{\beta \cdot \lambda_s}, \quad (4)$$

где  $\beta = 10$ , если частички пористого тела имеют сферическую форму.

Для мелкозернистой структуры пористого тела средний диаметр частичек является малой величиной, и в соответствии с уравнениями (3) и (4) коэффициент  $h_{sf} a_{sf}$  принимает большие значения. Поэтому для случая, когда структура пористого тела мелкозернистая, справедливо дополнительное допущение, а именно 4) коэффициент  $h_{sf} a_{sf}$  в членах уравнений (1) и (2), описывающий теплообмен между газом и пористой матрицей, является большим параметром.

Для применения метода возмущений к системе (1), (2) приведем ее к безразмерному виду. Введем безразмерные переменные: температуру

$$\Theta = \frac{T - T_s(x, 0)}{T_f(0, t) - T_s(x, 0)},$$

расстояние

$$\xi = \frac{\rho_f c_f v}{\lambda_{feff} + \lambda_{seff}} x$$

и время

$$\tau = \frac{(\rho_f c_f v)^2}{(\rho c)_{eff} (\lambda_{feff} + \lambda_{seff})} t,$$

где  $(\rho c)_{eff} = \Pi \rho_f c_f + (1 - \Pi) \rho_s c_s$ .

Мы будем предполагать, что температура твердой фазы может быть представлена как

$$\Theta_s = \Theta_f + \varepsilon \Theta_s^*, \quad (5)$$

где  $\Theta_s^*$  есть функция координаты и времени и

$$\varepsilon = \frac{1}{h_{sf} a_{sf}} \frac{\Pi(\rho_f c_f)^3 (v)^2}{(\rho c)_{eff} (\lambda_{feff} + \lambda_{seff})}$$

в соответствии с допущением (4) есть безразмерный малый параметр.

Теперь система уравнений (1), (2) может быть записана в виде

$$\frac{\partial \Theta_f}{\partial \tau} + \frac{\partial \Theta_f}{\partial \xi} = \frac{\partial^2 \Theta}{\partial \xi^2} + O(\varepsilon), \quad (6)$$

$$\Theta_s^* = \frac{\partial \Theta_f}{\partial \tau} + w_1 \frac{\partial \Theta_f}{\partial \xi} - w_2 \frac{\partial^2 \Theta_f}{\partial \xi^2}, \quad (7)$$

где

$$w_1 = \frac{(\rho c)_{eff}}{\Pi \rho_f c_f}, \quad w_2 = \frac{\lambda_f (\rho c)_{eff}}{(\lambda_{feff} + \lambda_{seff}) \Pi \rho_f c_f}.$$

Уравнение (6) получено путем сложения уравнений (1) и (2) и уравнение (7) есть уравнение (1), записанное в безразмерной форме с учетом выражения (5).

### Решение системы уравнений и исследование тепловых волн, распространяющихся в теле

Рассмотрим полубесконечное тело, первоначально имеющее одинаковую температуру во всех точках. В момент времени  $t = 0$  тело начинает прогреваться потоком горячего несжимаемого газа. Начальные и граничные условия для функции  $T_f$

$$T_f(x, 0) = T_0, \quad T_f(0, t) = T_b, \quad \frac{\partial T_f}{\partial x}(\infty, t) = 0.$$

В безразмерных переменных эти условия записываются в виде

$$\Theta_f(\xi, 0) = 0, \quad \Theta_f(0, \tau) = 1, \quad \frac{\partial \Theta_f}{\partial \xi}(\infty, \tau) = 0. \quad (8)$$

Решение уравнения (6) с начальными и граничными условиями (8) может быть получено с помощью преобразования Лапласа

$$\Theta_f = \frac{1}{2} \operatorname{erfc} \left\{ \frac{\xi - \tau}{2\sqrt{\tau}} \right\} + \frac{1}{2} \exp \xi \operatorname{erfc} \left\{ \frac{\xi + \tau}{2\sqrt{\tau}} \right\}. \quad (9)$$

Для больших значений  $\tau$  это решение превращается в

$$\Theta_f = \frac{1}{2} \operatorname{erfc} \left\{ \frac{\xi - \tau}{2\sqrt{\tau}} \right\}. \quad (10)$$

Решение (10) совпадает с решением для больших значений времени, полученным в [6] для однофазной модели пористого тела (когда температуры твердой и газовой фаз предполагаются равными). Это решение описывает ударную волну, распространяющуюся с поверхности  $\xi = 0$ .

В соответствии с уравнением (7) функция  $\Theta_s^*$  имеет вид

$$\Theta_s^* = \frac{1 - w_2}{4\tau\sqrt{\pi\tau}} \left\{ (\xi + \tau) \exp \left[ -\left( \frac{\xi - \tau}{2\sqrt{\tau}} \right)^2 \right] + (\xi - \tau) \exp \left[ \xi - \left( \frac{\xi + \tau}{2\sqrt{\tau}} \right)^2 \right] \right\} + (w_1 - w_2) \left\{ \frac{1}{2} \exp \xi \operatorname{erfc} \left[ \frac{\xi + \tau}{2\sqrt{\tau}} \right] - \frac{1}{2\sqrt{\pi\tau}} \left[ \exp \left\{ -\left( \frac{\xi - \tau}{2\sqrt{\tau}} \right)^2 \right\} + \exp \left\{ \xi - \left( \frac{\xi + \tau}{2\sqrt{\tau}} \right)^2 \right\} \right] \right\}. \quad (11)$$

Функция  $\Theta_s^*$  имеет особенность в точке  $(\xi, \tau) = (0, 0)$ , которая вызвана тепловым ударом на границе  $\xi = 0$  в момент времени  $\tau = 0$ . Поэтому выражение (11) может применяться для описания разности температур между твердой и газовой фазами только вне окрестности точки  $\tau = 0$ . Для больших значений  $\tau$  решение (11) превращается в

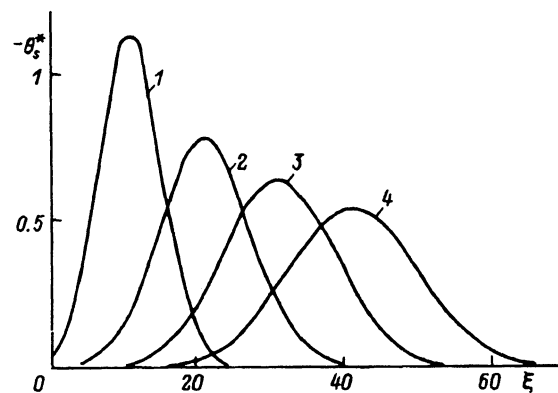
$$\Theta_s^* = \frac{\xi(1 - w_2) + \tau(1 - 2w_1 + w_2)}{4\tau\sqrt{\pi\tau}} \exp \left[ -\left( \frac{\xi - \tau}{2\sqrt{\tau}} \right)^2 \right]. \quad (12)$$

Решение (12) описывает волну, локализованную в пространстве, амплитуда которой уменьшается по мере ее распространения.

На рисунке представлено распределение функции  $-\Theta_s^*$  по мере распространения волны в разные моменты времени. Максимум функции  $-\Theta_s^*$  соответствует максимальной разнице температур между твердой и газовой фазами.

Зависимость координаты этого максимума  $\hat{\xi}$  от времени можно найти из уравнения  $(\Theta_s^*)'_{\xi} = 0$ . Легко показать, что решением этого уравнения является функция  $\hat{\xi} = \tau$ . Подстановка этой зависимости в уравнение (12) приводит к

$$(\Theta_s^*)_{\max} = \frac{1 - w_1}{2\sqrt{\pi\tau}}.$$



Расчет распространения волны температурной разности между твердой и газовой фазами для случая  $c_f \rho_f = 0.25 c_s \rho_s$ ,  $\lambda_{feff} = 0.25 \lambda_{seff}$ ,  $\Pi = 0.25$ .

1 —  $\tau = 10$ , 2 — 20, 3 — 30, 4 — 40.

В размерных переменных это означает, что для больших значений  $t$

$$\hat{x} = \frac{\rho_f c_f}{(\rho c)_{eff}} v \cdot t,$$

и максимум температурной разницы между твердой и газовой фазами равен

$$(T_f - T_s)_{\max} = \frac{T_b - T_0}{2\sqrt{\pi t}} \frac{v}{h_{sf} a_{sf}} \frac{(1 - \Pi) \rho_f c_f \rho_s c_s}{(\rho c)_{eff}^{1/2} (\lambda_{feff} + \lambda_{seff})^{1/2}}. \quad (13)$$

Из формулы (13) видно, что основными факторами, влияющими на  $(T_f - T_s)_{\max}$ , являются  $h_{sf}$ ,  $a_{sf}$  и  $v$ .

Обе волны, описываемые уравнениями (10) и (12), распространяются со скоростью

$$\hat{v} = \frac{\rho_f c_f}{\Pi \rho_f c_f + (1 - \Pi) \rho_s c_s} v,$$

которая для случая  $\rho_f c_f \neq \rho_s c_s$  не совпадает со скоростью распространения газа  $v$ .

### Выводы

1. При прогреве полуограниченного пористого тела потоком горячего несжимаемого газа в теле распространяются две качественно различные волны: а) температуры твердой и газовой фаз образуют ударную волну и б) разница температур твердой и газовой фаз образует тепловую волну, локализованную в пространстве.

2. Обе волны распространяются от поверхности  $x = 0$  со скоростью, которая в случае различных теплоемкостей твердой и газовой фаз не совпадает со скоростью распространения газа.

3. Разница температур между твердой и газовой фазами стремится к нулю по мере распространения волны.

Автор благодарен фонду им. А. Гумбольдта, в рамках исследовательской стипендии которого была выполнена данная работа.

### Список литературы

- [1] Shumann T.E.W. // J. of Franklin Institute. 1929. Vol. 208. P. 405-416.
- [2] Arpacı V.S., Clark J.A. // Adv. in Cryogenic Engin. 1962. Vol. 7. P. 419-432.
- [3] Hung F.T., Nevins R.G. // ASME Paper. N 65-HT-10. 1965.
- [4] Jang W.J., Lee C.P. // ASME Paper. N 74-WA-/HT-22. 1974.
- [5] Burch D.M., Allen R.W., Peavy B.A. // J. Heat Transfer. 1976. Vol. 98. P. 221-225.
- [6] Riaz M. // Trans. ASME. J. Heat Transfer. 1977. Vol. 99. P. 489-492.
- [7] Vafai K., Sözen M. // Trans. ASME. J. Heat Transfer. 1990. Vol. 112. P. 690-699.
- [8] Sözen M., Vafai K. // Int. J. Heat Mass Transfer. 1990. Vol. 33. P. 1247-1261.
- [9] Vafai K., Sözen M. // Trans. ASME. J. Heat Transfer. 1990. Vol. 112. P. 1014-1022.
- [10] Whitaker S. // Adv. Heat Transfer. 1977. Vol. 13. P. 119-203.
- [11] Dullien F.A.L. Porous Media Fluid Transport and Pore Structure. New York: Acad. Press, 1979.
- [12] Dixon A.G., Gresswell D.L. // Amer. Inst. Chem. Engin. J. 1979. Vol. 25. P. 663-676.